

# Interaction laser/matière: étude physique et simulation numérique

Les effets thermiques d'un laser  
femtoseconde sur un métal

TIPE 2017-2018

Milieux: interactions, interfaces, homogénéité,  
ruptures

# Plan

## Introduction

### I. Principe du laser

### II. Effets thermique sur une plaque métallique

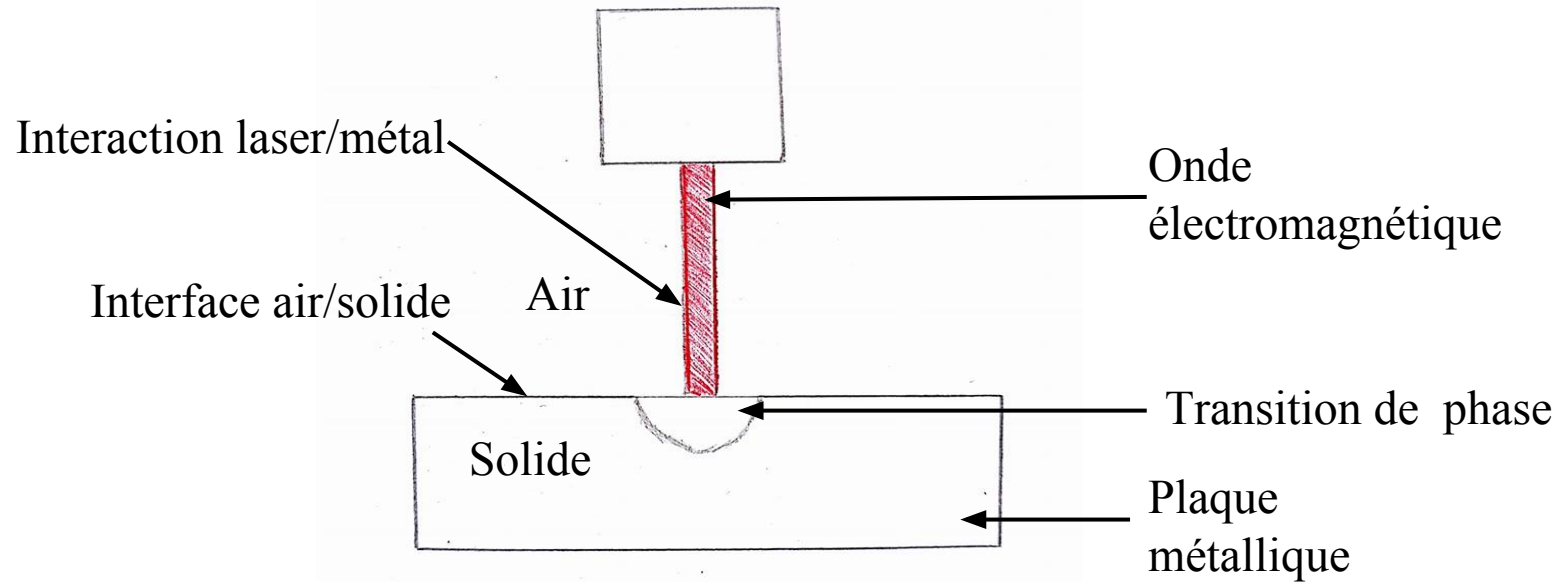
1. Processus d'ablation
2. Modélisation
3. Résolution analytique
4. Résolution numérique

## Conclusion

## Contributions

- Prise de contact avec des usines et laboratoires en Tunisie
- Rencontre avec un physicien, créateur de la start-up Laboratoire Laser Afrique, travaillant le laser.
- Implémentation de codes python traduisant la diffusion de chaleur dans de l'aluminium.
- Implémentation d'un code python permettant de visualiser la résolution analytique de l'équation de la chaleur par transformée de Fourier.

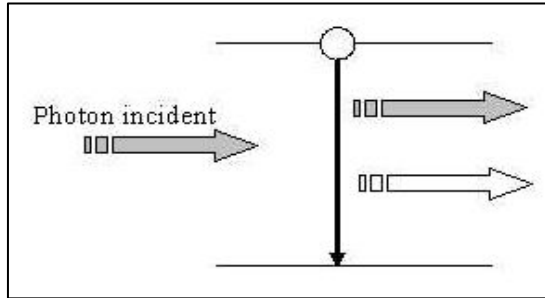
# Introduction



Le Laser ?

# I) Principe du laser

## Emission stimulée

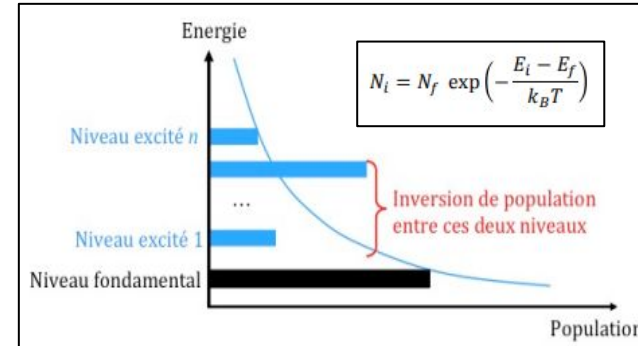
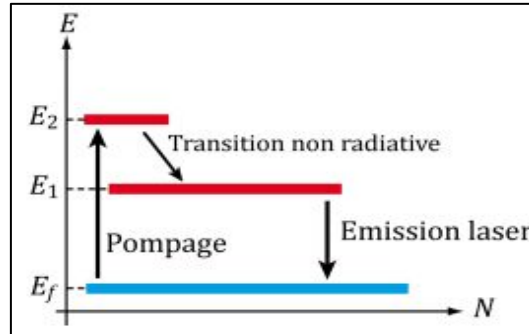
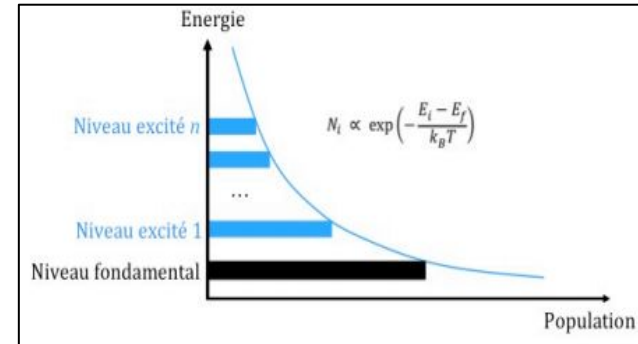
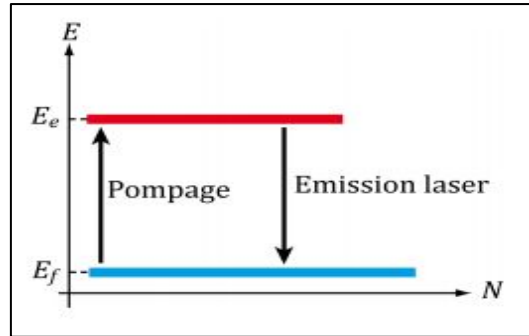


⇒ Amplification de la lumière

Un système à 3 niveaux :

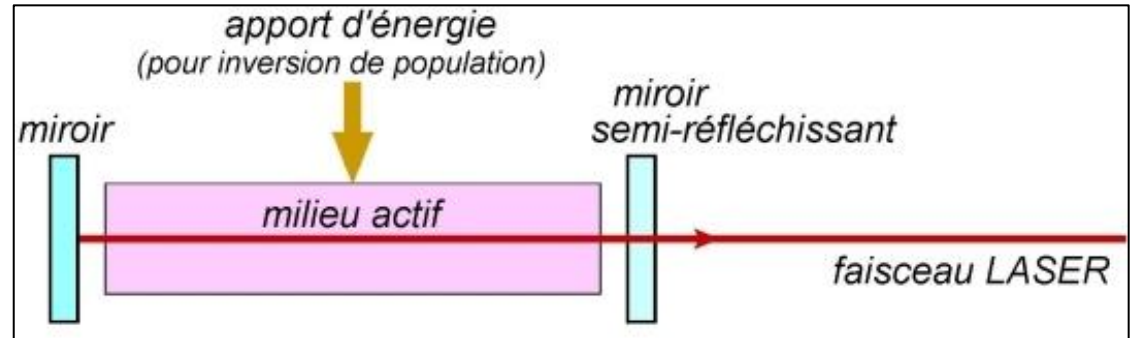
- Etat fondamentale  $E_f$
- 2 états excités  $E_1$  et  $E_2$  avec  $E_1 < E_2$

## Inversion de population

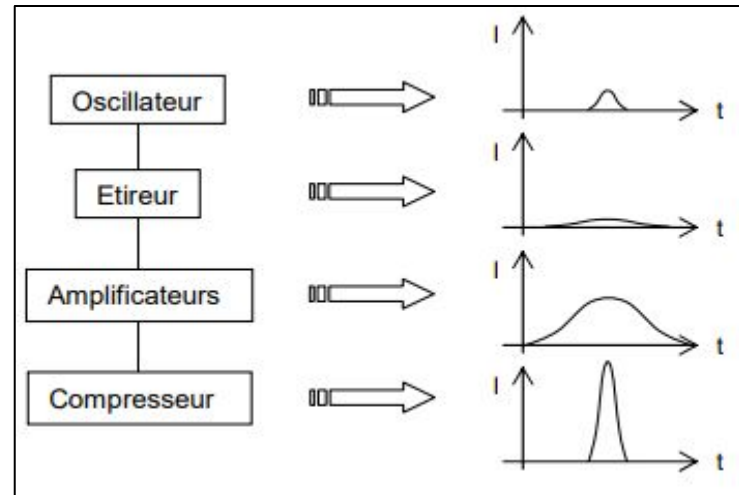


# Milieu actif

Cavité optique



Principe de génération d'impulsions ultra-brèves:  
amplification à dérives de fréquences



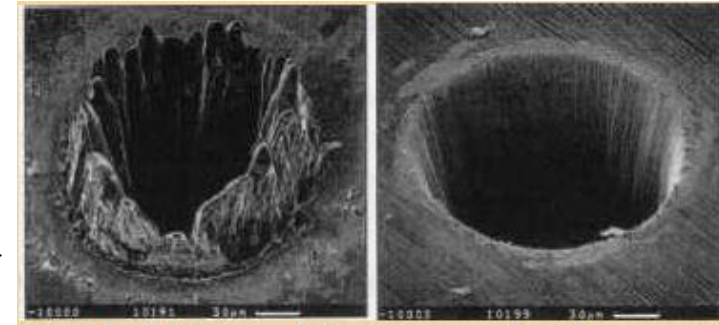
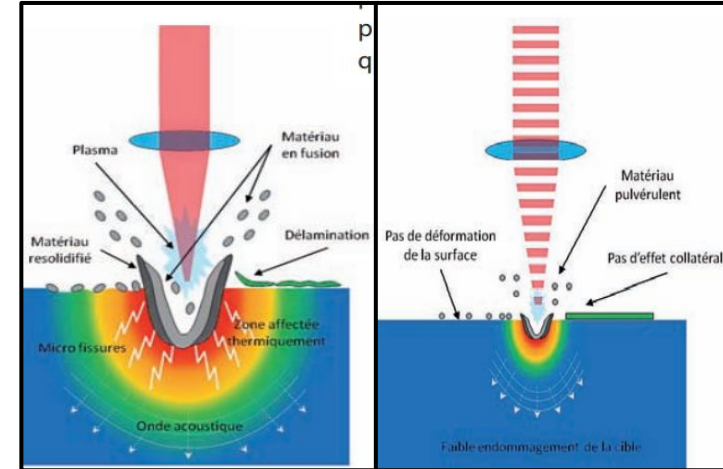
## II. Effets thermiques sur une plaque métallique

### 1) Processus d'ablation

- Dépend des propriétés du métal (conductivité), de la fluence et de la puissance du laser
- Cassure des structures du réseau
- Apparition d'une ZAT

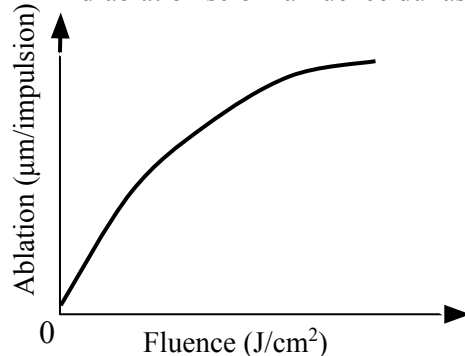
Laser Nd:Yag (ns)	3,1 $\mu\text{m}$
Laser Ti:saphir (fs)	0,22 $\mu\text{m}$

ZAT sur une plaque d'aluminium après 1 impulsion



Ablation avec un laser nanoseconde et un laser femtoseconde

Représentation qualitative de la profondeur d'ablation selon la fluence du laser



## 2) Modélisation

### Hypothèses:

Loi de Fourier:  $\vec{j} = -\lambda \text{grad} T$

Equation de la chaleur:  $\rho c \frac{\partial T}{\partial t} = -\text{div} \vec{j}$

On considère l'influence de l'air  
comme négligeable sur l'évolution de  
la température

Pas de pertes par conduction et  
de convection

$D = \lambda / \rho c$ , avec  $\lambda$  le coefficient de conductivité thermique,  
 $c$  la capacité thermique et  $\rho$  la masse volumique.

$$\rho c \frac{\partial T}{\partial t} = \text{div}(\lambda \text{grad} T)$$

$$\Rightarrow \rho c \frac{\partial T}{\partial t} = \lambda \left( \frac{\partial^2 T}{\partial x^2} + \frac{\partial^2 T}{\partial y^2} + \frac{\partial^2 T}{\partial z^2} \right)$$

$$\Rightarrow \boxed{\frac{\partial T}{\partial t} = D \Delta T} \quad (*)$$

Matériau	$\lambda$ (W.m <sup>-1</sup> .K <sup>-1</sup> )	$\rho$ (J.kg <sup>-1</sup> .K <sup>-1</sup> )	$c$ (kg.m <sup>-3</sup> )	$D$ (m <sup>2</sup> .s <sup>-1</sup> )	$T(^{\circ}\text{C})$ de fusion	$T(^{\circ}\text{C})$ d' évaporation
Aluminium	238	900	270	$9,794 \cdot 10^{-5}$	660,32	2056



### 3) Résolution analytique

On résout l'équation de la chaleur en considérant les paramètres constants et un chauffage unidimensionnelle.

On applique à l'équation (\*) une transformée de Fourier (T.F) et son inverse avec  $\tilde{f}(k) = \frac{1}{\sqrt{2\pi}} \int_{-\infty}^{\infty} f(x)e^{-ikx} dx$

Avec pour condition initiale une impulsion de Dirac  $T(x,0)=\delta(x)$  :

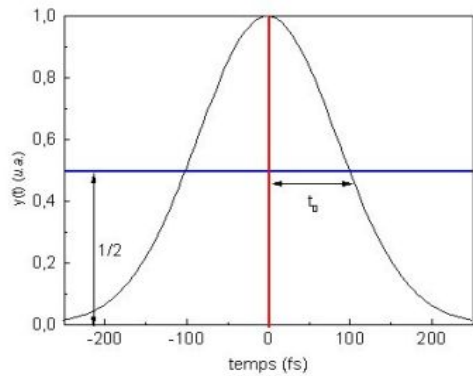
$$\frac{\partial T}{\partial t} = D \frac{\partial^2 T}{\partial x^2} \Rightarrow \tilde{T}(k,t) = \frac{1}{\sqrt{2\pi}} e^{-Dk^2 t} \Rightarrow T(x,t) = \frac{1}{2\sqrt{\pi Dt}} e^{-\frac{x^2}{4Dt}}$$

Ne représente pas vraiment un phénomène physique, on utilise alors une gaussienne comme condition initiale:

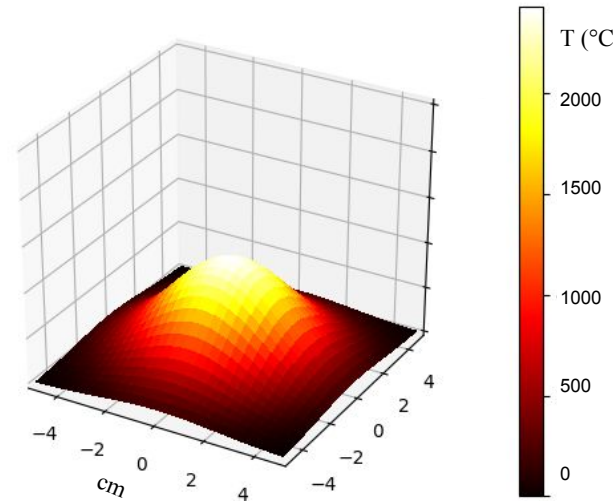
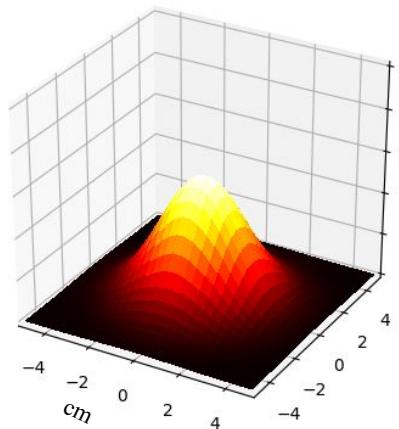
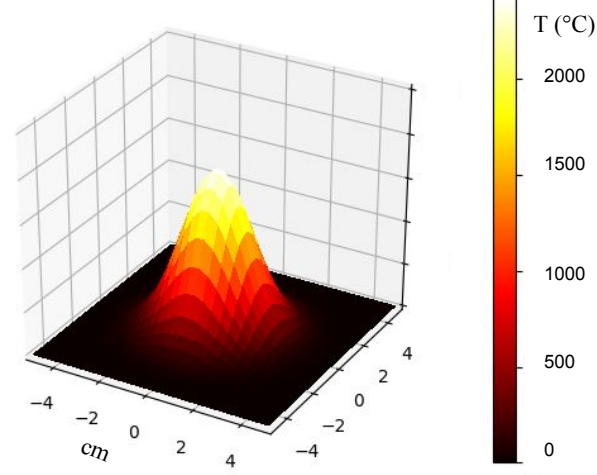
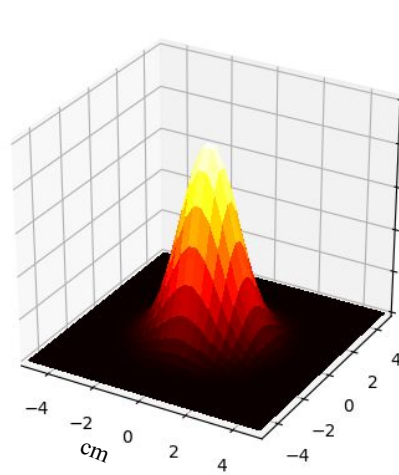
$$\tilde{T}(k,t) = \sqrt{\sigma} e^{\frac{k^2 \sigma}{2}} e^{-Dk^2 t} \Rightarrow T(x,t) = \frac{\sqrt{2\sigma}}{\sqrt{4Dt + 2\sigma}} e^{-\frac{x^2}{4Dt + 2\sigma}}$$

Conditions initiales et aux limites :

- $T(0,t)=0 \quad \forall t$
- $T(\infty,t)=0 \quad \forall t$
- $T(x,0) = \frac{e^{-x^2}}{2\sigma} \quad \forall x$



Forme temporelle de  
l'impulsion femtoseconde  
(200 fs)



Visualisation de la  
solution avec  
Python

#### 4) Résolution numérique

On résout l'équation de la chaleur à 2 dimensions en utilisant la méthode des différences finies.

On définit d'abord les pas  $x_i$ ,  $y_j$  et  $t_k$ :  $x_i = x_0 + i\Delta x$ ,  $y_j = y_0 + j\Delta y$ ,  $t_k = t_0 + k\Delta t$

On détermine ensuite  $\frac{\partial T}{\partial t}$ ,  $\frac{\partial^2 T}{\partial x^2}$  et  $\frac{\partial^2 T}{\partial y^2}$  en appliquant Taylor respectivement à l'ordre 1 en  $t_k$  et à l'ordre 2 en  $x_i$  et  $y_j$ . On pose  $T_{i,j}^k = T(x,y,k)$ .

$$T(x_i + \Delta x, y_j, t_k) = T(x_i) + \Delta x \frac{\partial T}{\partial x} + \frac{\Delta x^2}{2} \frac{\partial^2 T}{\partial x^2} + O(\Delta x^3)$$

$$T(x_i - \Delta x, y_j, t_k) = T(x_i) - \Delta x \frac{\partial T}{\partial x} + \frac{\Delta x^2}{2} \frac{\partial^2 T}{\partial x^2} + O(\Delta x^3)$$

$$\Rightarrow \frac{\partial^2 T}{\partial x^2} \simeq \frac{T_{i+1,j}^k + T_{i-1,j}^k - 2T_{i,j}^k}{\Delta x^2}$$

$$\frac{\partial^2 T}{\partial y^2} \simeq \frac{T_{i,j+1}^k + T_{i,j-1}^k - 2T_{i,j}^k}{\Delta y^2}$$

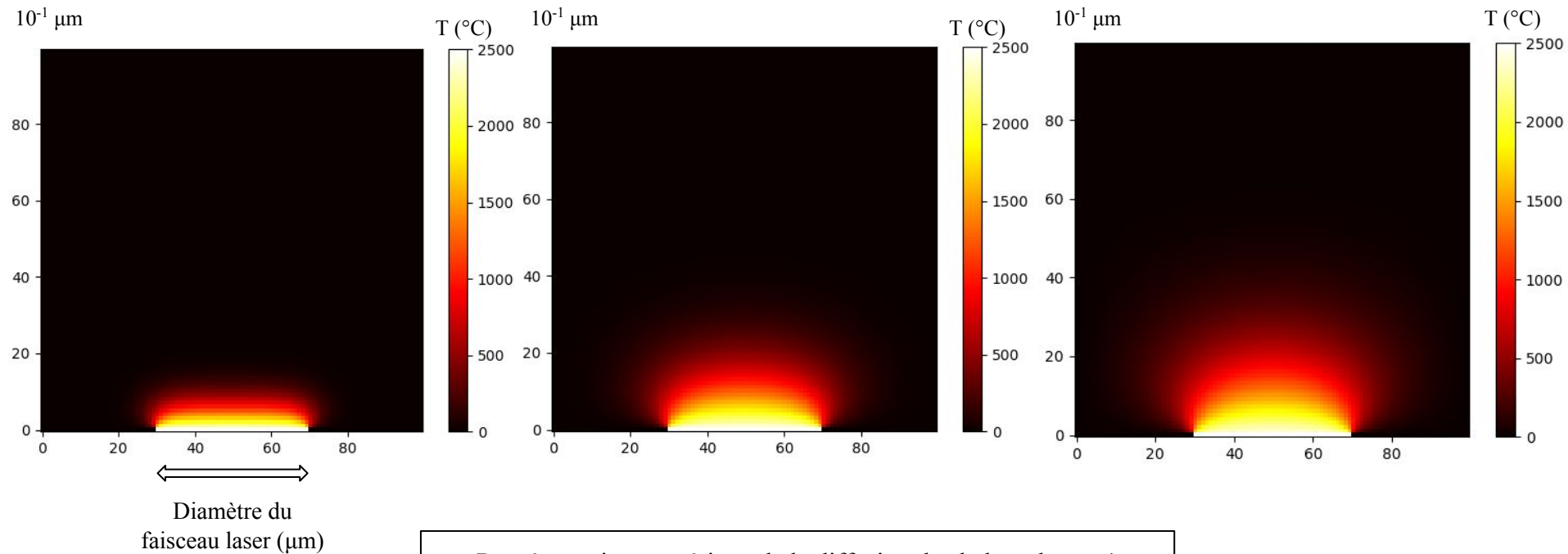
De la même manière on a

$$T(x_i, y_j, t_k + \Delta t) = T(x_i, y_j, t_k) + \Delta t \frac{\partial T}{\partial t} + O(\Delta t^2) \quad \Rightarrow \quad \boxed{\frac{\partial T}{\partial t} \simeq \frac{T_{i,j}^{k+1} - T_{i,j}^k}{\Delta t}}$$

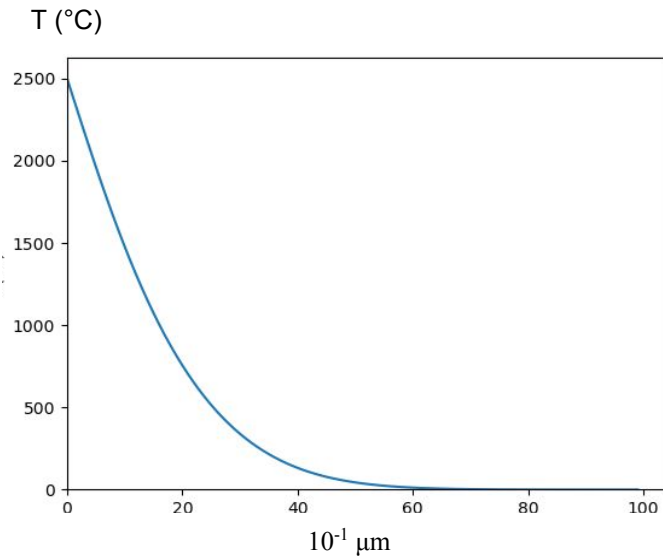
On remplace ensuite dans l'équation (\*)

$$\frac{T_{i,j}^{k+1} - T_{i,j}^k}{\Delta t} = D \left( \frac{T_{i+1,j}^k + T_{i-1,j}^k - 2T_{i,j}^k}{\Delta x^2} + \frac{T_{i,j+1}^k + T_{i,j-1}^k - 2T_{i,j}^k}{\Delta y^2} \right)$$

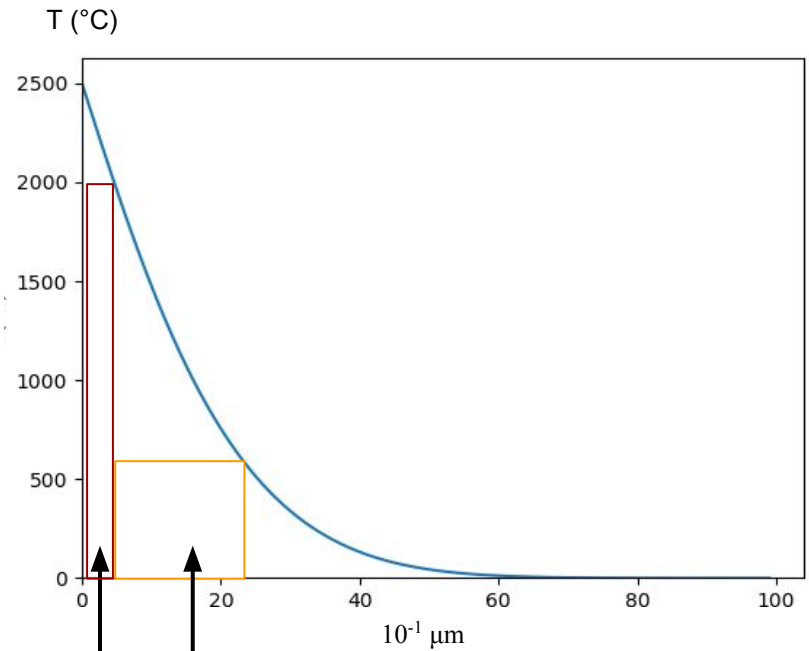
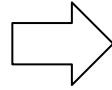
$$\Rightarrow \boxed{T_{i,j}^{k+1} = T_{i,j}^k + \Delta t D \left( \frac{T_{i+1,j}^k + T_{i-1,j}^k - 2T_{i,j}^k}{\Delta x^2} + \frac{T_{i,j+1}^k + T_{i,j-1}^k - 2T_{i,j}^k}{\Delta y^2} \right)}$$



Représentation numérique de la diffusion de chaleur durant 1 impulsion longue dans une plaque d'aluminium de 10  $\mu\text{m}$  d'épaisseur



Représentation graphique de la diffusion de chaleur dans une plaque d'aluminium de  $10 \mu\text{m}$  pendant 1 pulsation longues



Processus d'ablation du métal (aluminium) lorsqu'il atteint sa température de d'évaporation

Zone de fusion

# Conclusion